

Попытка дистанционного мониторинга удалённых ТПВ-экспериментов

М. Кринкер ¹

Аннотация—В работе рассмотрены результаты записи локального полевого вращения, регистрируемого аппаратом SEVA в Нью-Йорке, при проведении параллельных ТПВ экспериментов в Москве. Адресация с экспериментами в Москве осуществлялась по фотографии её участников, взаимодействующей с прибором SEVA. Наибольшая вероятностная корреляция отмечалась для включения светодиодного ТП генератора в Москве, что, возможно, объясняется тем, что оба участника этого конкретного эксперимента были на адресующей фотографии. Помимо адресного действия фотографии, функцию связки могли выполнять глобальный резонатор Земля-Ионосфера и волны Шумана.

I. ВВЕДЕНИЕ

2-4 февраля 2010 года в Москве происходило совещание и ТПВ эксперименты, включающие постановку и удаление фантомов. Автору было предложено сделать попытку межконтинентального дистанционного мониторинга этих событий.

Непосредственно после эксперимента фотографии записей с экрана монитора были переданы в Москву, но на тот момент нельзя было по ним однозначно сказать о наличии эффекта. Далее, при замене записывающего компьютера, исходные результаты этого эксперимента считались утерянными, но были через несколько лет обнаружены в компьютерных архивах автора, что позволило полностью восстановить картину записи и сделать выводы.

Суть эксперимента по мониторингу состояла в том, что проверялась возможность отреагировать на ТПВ-эксперименты в Москве с помощью аппарата SEVA, Spinning Electric Vector Analyzer, находящегося в Нью-Йорке. Прибор SEVA, применявшийся в эксперименте, регистрирует вращающиеся электромагнитные поля 6+ кГц. Выбор такой частоты не случаен - это одна из резонансных частот естественного полостного резонатора Земля-ионосфера. Именно эти частоты являются своеобразными возбудителями процессов полевого вращения на источниках геопатогенных зон - разломов, подземных вод и т.д [1].

В свою очередь, этот резонатор получает электромагнитную накачку из вышерасположенных магнит-

ных поясов Ван Аллена. Прилетающие из Космоса заряженные частицы закручиваются магнитным полем Земли в этих поясах, излучая при этом электромагнитные волны, которые далее выделяются указанным резонатором.

Рис.1 показывает ограниченный участок собственного электрического спектра Земли. Правая часть выделяет характерные резонансные участки 6, 12 и 18 кГц.

Объект, регистрируемый аппаратом SEVA - это фактически полевой гироскоп, ПГ, т.к. вращающееся поле обладает массой, моментом инерции, угловым моментом и мощностью вращения.

Как показали дальнейшие эксперименты с аппаратом SEVA, любые события вообще обладают собственным угловым моментом и всем набором перечисленных выше величин. Это же, но в другой форме, следует из экспериментов с торсимерами В.Т. Шкатова.

Было высказано предположение, что ТПВ-эксперименты, будучи носителями полей вращения в той или иной форме, могут взаимодействовать с прибором SEVA.

Для привязки аппарата SEVA к экспериментам решено было использовать метод В.Т. Шкатова, основанный на применении фотографии [2]. Применялась коллективная фотография планируемых участников эксперимента. Фотография была передана по Интернету в Нью-Йорк и содержалась в виде информации на магнитной дискете. В таком случае, информация кодируется в виде спинов намагниченных участков дискеты. Общая квантовая природа спинов и полевого гироскопа, регистрируемого прибором SEVA, делает эти объекты родственными и увеличивает вероятность дистанционной регистрации информации. Кроме того, пространственная плотность упаковки информации на дискете выше, чем на листе стандартного размера, содержащего отпечатанный на принтере образ. Одновременно с устранением необходимости распечатывания фотографии, сокращается число ступеней передачи информации и уменьшается вероятность её повреждения. Кроме того, по этическим причинам, посторонние лица в месте приёма не должны были видеть реальную фотографию участников.

¹ Ph.D., Visiting Research Scholar, Farmingdale College, State University of New York, USA, sevatronics@gmail.com.

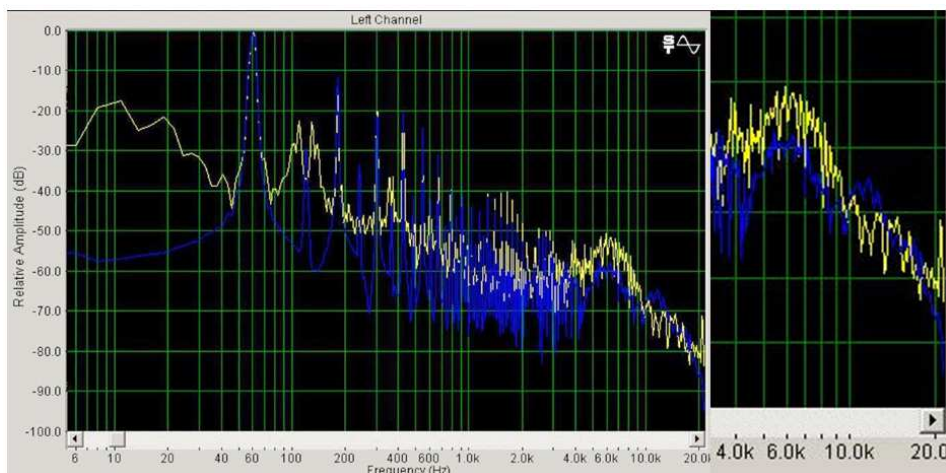


Рис. 1. Ограниченный участок электрического спектра Земли. Аппарат SEVA был настроен на резонансный пик 6+ кГц, показанный отдельно справа. Жёлтая кривая показывает эффект влияния турбулентного потока воды на спектр, где видно появление СНЧ области (до 45 Гц) и общий подъём спектра. Частые пики на записи - гармоника индустриального поля 60 Гц (США), искажённого нелинейными приборами.

II. ЭКСПЕРИМЕНТ

Мониторинг производился с утра 2 февраля по вечер 4 февраля 2010 года по времени Нью-Йорка. Узкополосный аппарат SEVA "Monochromatic" был расположен в техническом отделе компании в Нью-Йорке, занимающейся ремонтом компьютерных систем.

Дискета с фотографией располагалась вблизи аппарата, рис 2. Кроме записи вращения на частоте 6 кГц, применялась запись сверхнизкочастотных (0-30 Hz) электрических полей с помощью дополнительно прибора, видимого на снимке рядом с SEVA.



Рис. 2. Проведение эксперимента по дистанционному мониторингу ТПВ-опытов. Дискета с изображением участников экспериментов расположена вблизи аппарата SEVA "Monochromatic". Рядом расположен прибор для записи поля сверхнизких частот.

Запись показаний обоих приборов производилась автоматически с помощью прибора и программы DATAQ. Прибор DATAQ был подключен к компьютеру.

III. РЕЗУЛЬТАТЫ ЭКСПЕРИМЕНТА

Рис. 3, 4, 5, 6 показывают запись вращения поля 6+ кГц (верхняя часть) и поля сверхнизких частот. Толщина верхней линии указывает на процесс нестационарного вращения, возникающего при комбинации частот в пределах полосы пропускания узкополосного фильтра аппарата. Отклонение записи вверх-вниз от исходной линии свидетельствует об изменении направления вращения поля. Цена деления по времени показана внизу диаграммы. Время на записи соответствует Нью-Йорку. Время в Москве = НЙ + 8 часов.

Было установлено, что из 12 участников фотографии, использованной для адресации, только 4 принимали участие в экспериментах 3 Февраля.

Запись показывает корреляцию между самим периодом экспериментов и активностью полей вращения и полей сверхнизких частот, Рис. 4, 5.

По словам одного из участников эксперимента, Ю.П. Кравченко, светодиодный ТП генератор А.В. Боброва был включен приблизительно во время зафиксированного подъема вращения на записи, (7:35-НЙ, 15:35-Мск). Участники эксперимента отмечали негативное влияние различных ТП генераторов на самочувствие. Следует отметить, что Ю.П. Кравченко и А.В. Бобров, производившие эксперименты с этим генератором, оба были на фотографии, использованной для адресации.

Можно отметить, что помимо фотографии в виде спинов на дискете, связующим фактором могло быть глобальное поле резонатора Земля-Ионосфера и сверхнизкие поля Шумановской частоты.

Автор выражает признательность В.А. Жигалову и Ю.П. Кравченко за советы и обсуждение эксперимента.

СПИСОК ЛИТЕРАТУРЫ

- [1] М. Krinker, L. Pismenny. *What Stands Beyond Dowsing and Feng Shui?* EcoDowsing, New York, 2006.
- [2] В.Т.Шкатов. Патент РФ №2201133 с приоритетом от 30.09.1999.

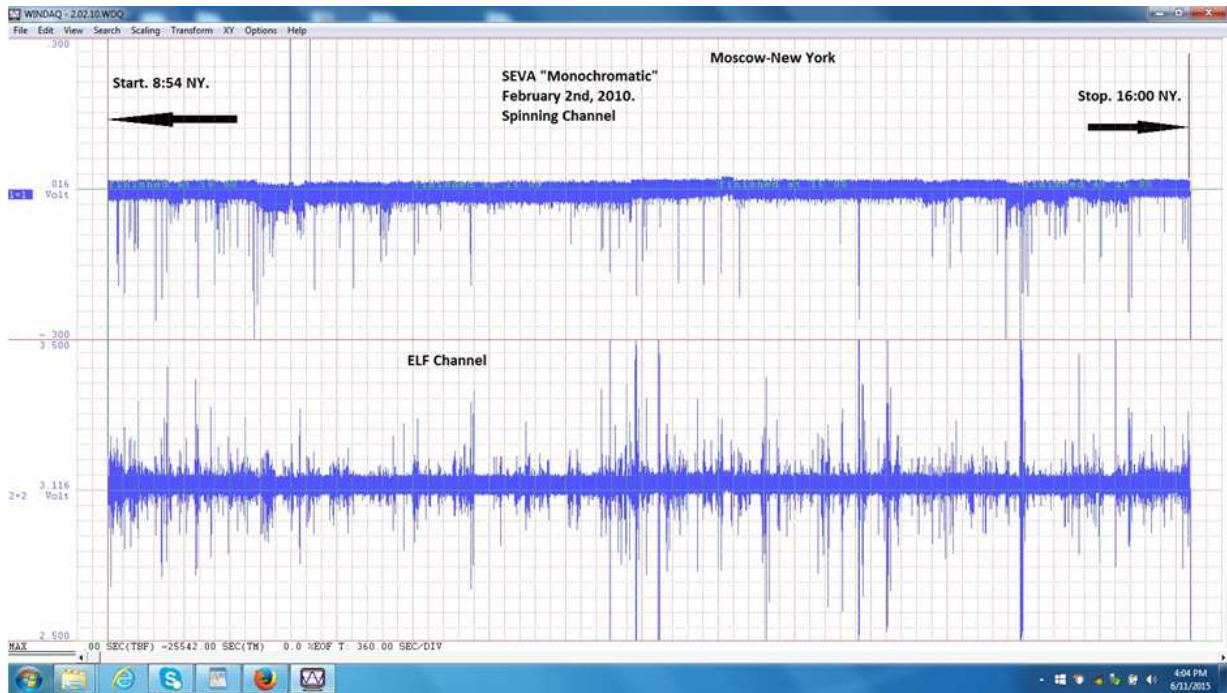


Рис. 3. Запись соответствует 16:54 - 24:00 Мск. Наблюдаются характерные преобладающие всплески вращения в одну сторону, типичные в практике прибора SEVA. Эксперименты в Москве ещё не начаты. Некоторая корреляция с низкочастотным каналом говорит о том, что часть вращения 6 кГц может быть гармониками импульсов низких частот.

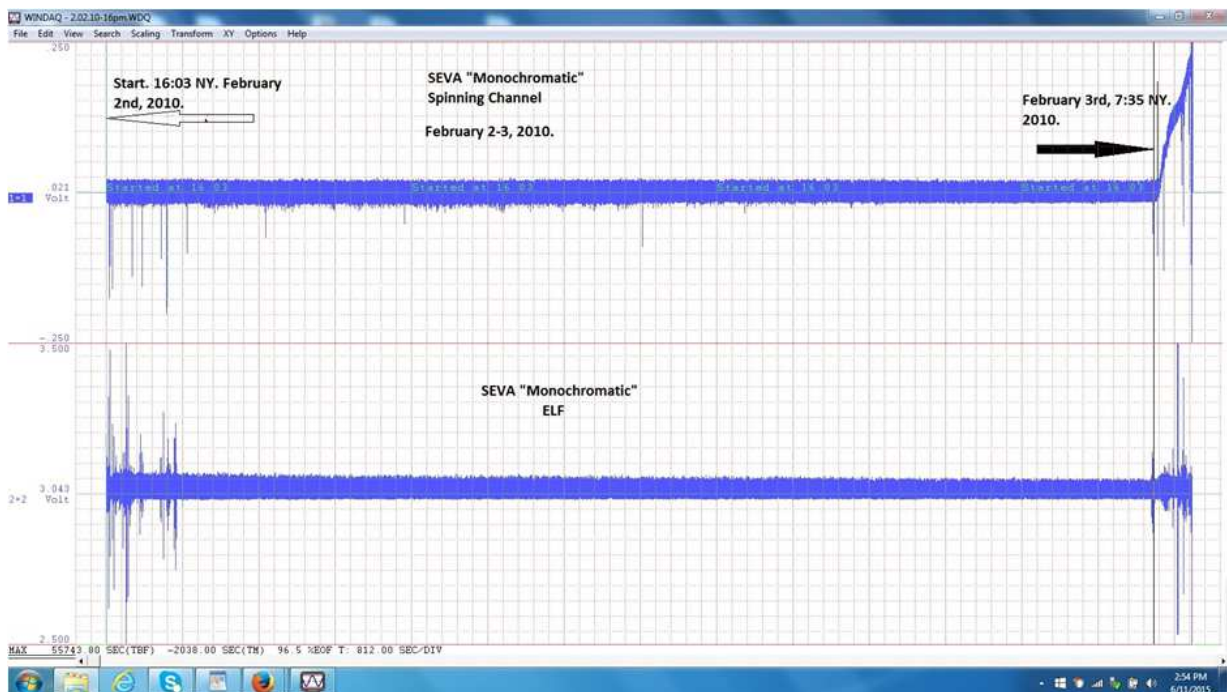


Рис. 4. Запись соответствует 00:03-16:01 Мск., 3 февраля. В 15:35 Мск (7:35-NY) прибор регистрирует заметное событие - вращение резко уходит в одну сторону, причём направление нового вращения противоположно ранее наблюдававшемуся равновесному. Эксперименты в Москве постепенно начаты в 14:00. Событие по каналу вращения подтверждается низкочастотным независимым каналом - начиная с 15:35 Мск отмечаются всплески полей сверхнизкой частоты.

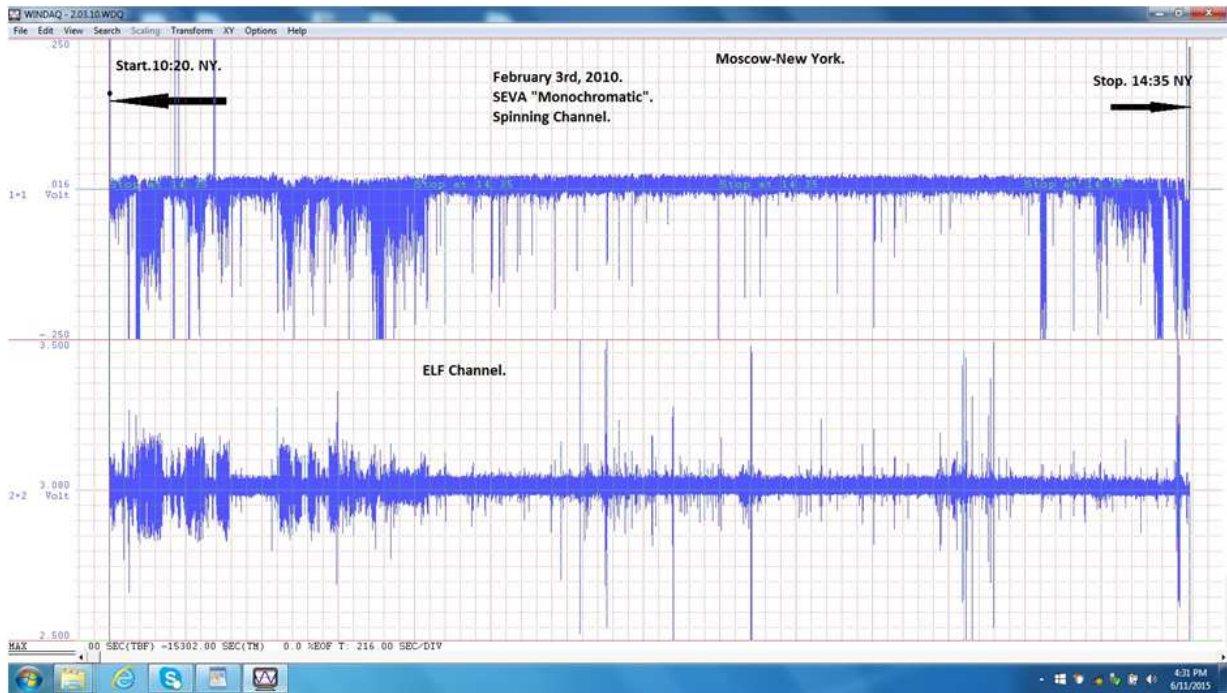


Рис. 5. Запись каналов соответствует 18:20-22:35 Мск., 3 февраля. Синхронная активность канала вращения и СНЧ наблюдается с момента начала записи и до 19:40 Мск. Приблизительно в это время эксперименты в Москве были окончены. Однако, в 22:00 Мск наблюдается повторная активность, но уже только по каналу вращения.

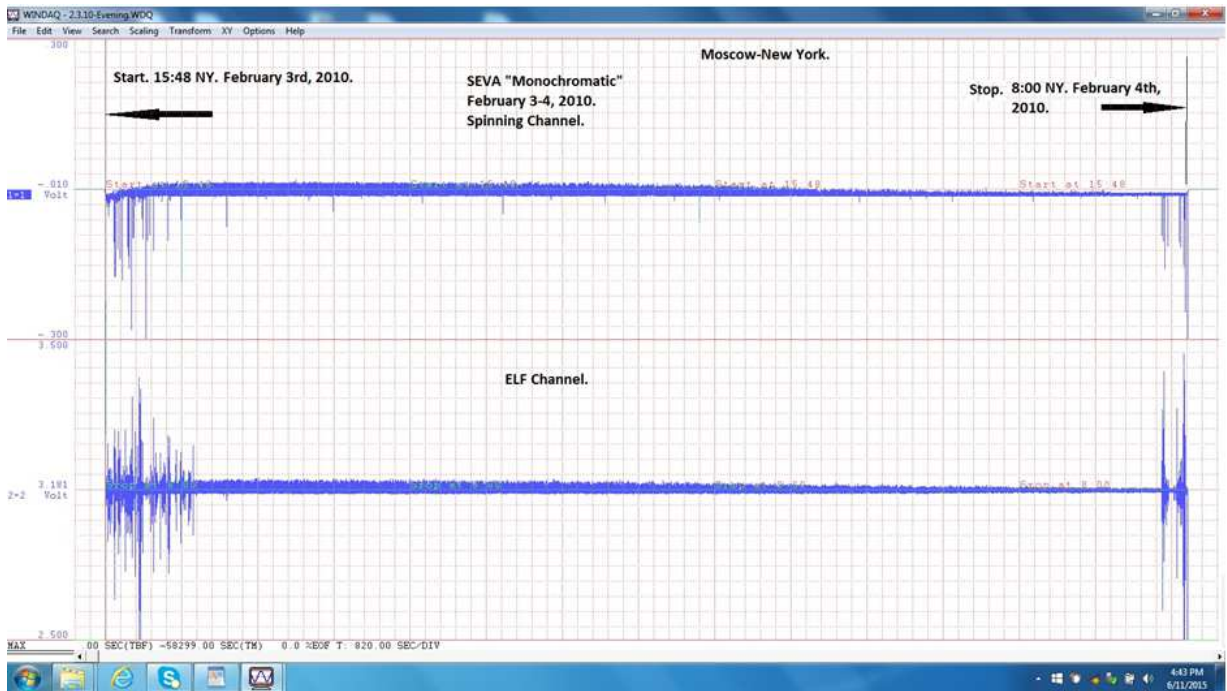


Рис. 6. Время записи соответствует 23:48 Мск 3 февраля – 16:00 Мск 4 февраля. Эксперименты в этот день уже не проводились и подводились некоторые итоги. Видно затухание нестационарного вращения 6+ кГц, определяемого толщиной базовой линии. Активность СНЧ тоже постепенно убывает. В левой части записи видно продолжение активности поля, показанной в правой части рис.5.